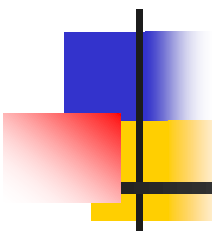


Обзор методов стабилизации видео



Максим Колинченко

Video Group

CS MSU Graphics & Media Lab



Содержание

- **Введение**
- Сглаживание траектории
- Удаление motion blur
- Video completion
- Заключение



Постановка задачи

Движение в кадре:

- Движение объектов
- Намеренное движение камеры
- Случайное движение камеры (дрожание)

Задача – удаление дрожания

Методы:

- Аппаратная стабилизация (во время съемки)
- Программная стабилизация (постобработка)



Аппаратная стабилизация

Стабилизаторы:

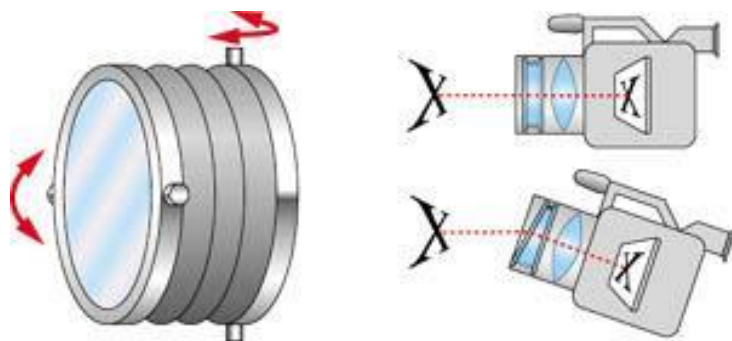
- Оптические
- С подвижной матрицей
- Цифровые

Во всех случаях перемещения камеры фиксируются акселерометром

Аппаратная стабилизация

Оптический стабилизатор

Система подвижных линз. При малых колебаниях обеспечивает неподвижность проекции изображения на матрицу



Единственный способ стабилизации
для плёночных камер

Аппаратная стабилизация

Подвижная матрица

Матрица закреплена на подвижной платформе



Стабилизация работает с любой оптикой

Аппаратная стабилизация

Цифровая стабилизация

Около 40% пикселей на матрице
не участвуют в формировании изображения



Самый дешевый способ стабилизации

Программная стабилизация

Основные этапы



- Сглаживание траектории камеры
- Удаление motion blur
- Формирование новых кадров
 - Обрезка изображений
 - Заполнение пустых областей



Содержание

- Введение
- Сглаживание траектории
 - **Традиционный подход**
 - Optimal Camera Path
- Удаление motion blur
- Video completion
- Заключение

Сглаживание траектории

Задача:

1. Определить траекторию движения камеры
2. Построить новую траекторию, сохраняющую плавные намеренные движения камеры, и устранить дрожание

Традиционный подход

- Находим цепочку глобальных преобразований кадров (например, с помощью optical flow)
- Находим $S_t = \sum_{i \in N_t} (T_t^i * G(k))$ – такое преобразование, что $I'_t = S_t I_t$

I_t – t -й кадр последовательности

T_j^i – преобразование i -го кадра в j -й, $I_j = T_j^i I_i$

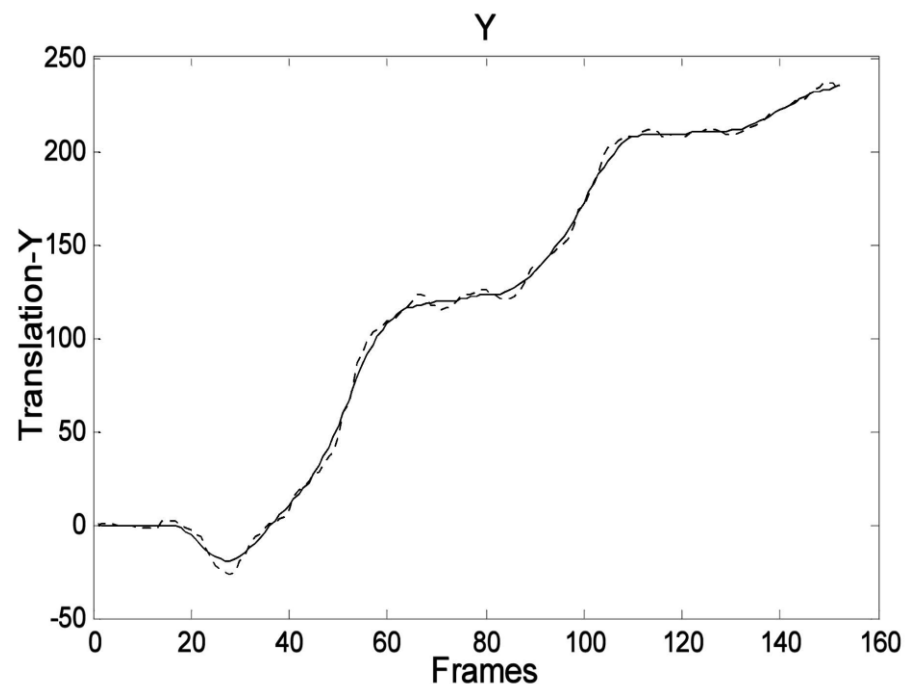
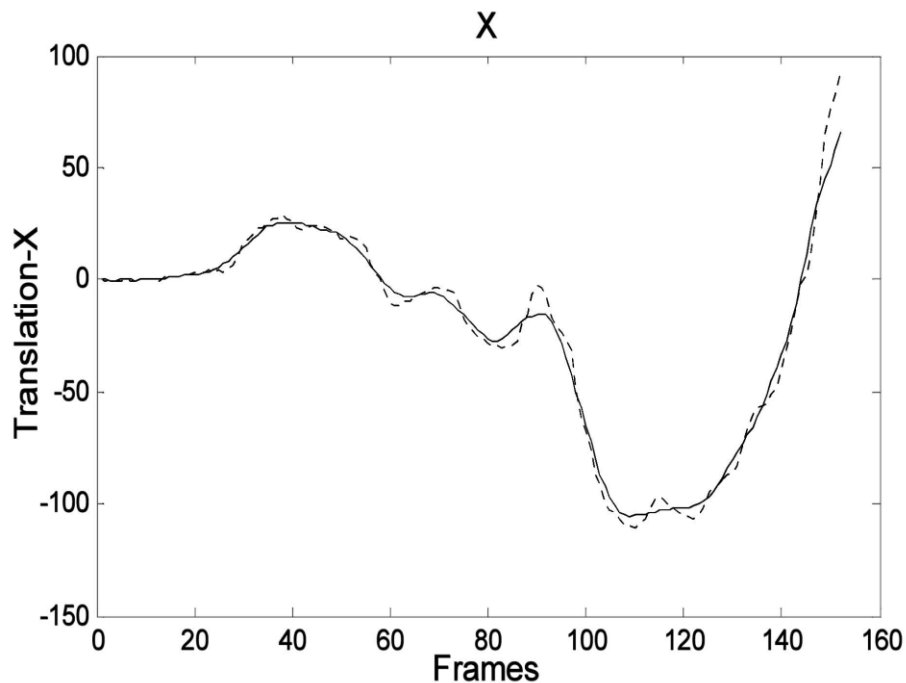
I'_t – стабилизированный кадр

$N_t = \{j : t - k \leq j \leq t + k\}$ – множество индексов

$G(k) = \frac{1}{\sqrt{2\pi}\sigma} e^{-k^2/2\sigma^2}$, $\sigma = \sqrt{k}$ – гауссово ядро

Результат

Увеличивая k , делаем результат более гладким



$$k = 6$$



Выводы

Достоинства:

- Траектория становится более гладкой, подавляются высокочастотные колебания
- Сохраняется направление намеренного движения

Недостатки:

- Низкочастотные колебания (шагающий человек) сохраняются
- Съёмка все равно отличается от профессиональной

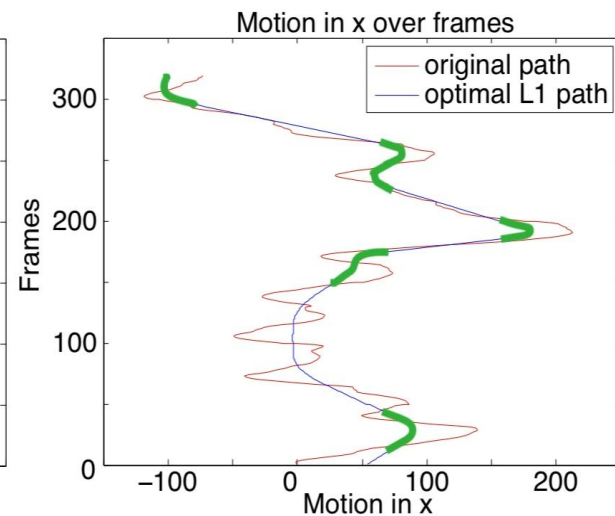
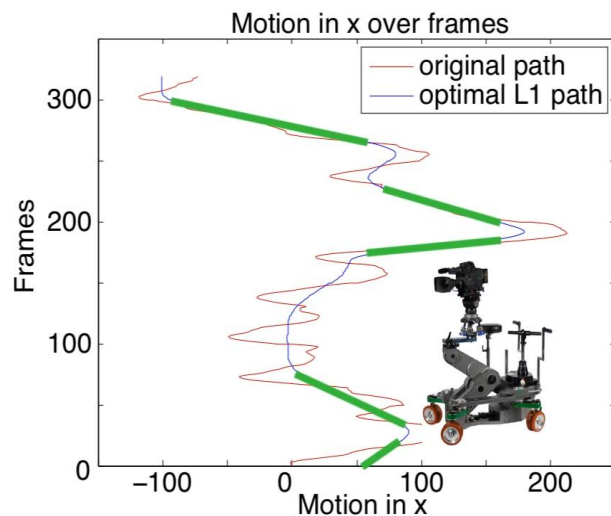
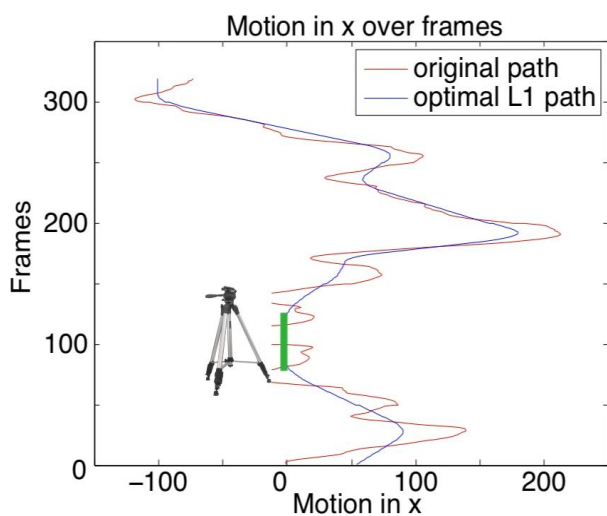


Содержание

- Введение
- Сглаживание траектории
 - Традиционный подход
 - **Optimal Camera Path**
- Удаление motion blur
- Video completion
- Заключение

Идея алгоритма

Заменить траекторию камеры на ту, которая содержит только участки с постоянной координатой, скоростью или ускорением



Алгоритм

Задача

■ Найти оптимальную траекторию, минимизируя функционал $\mathcal{O}(P) = w_1|D(P)|_1 + w_2|D^2(P)|_1 + w_3|D^3(P)|_1$ по всем B_t , при наложенных ограничениях

C – оригинальная траектория камеры

P – сглаженная траектория

F_t – преобразование кадра I_{t-1} в I_t

$$C_t = F_1 F_2 \dots F_t$$

$$P_t = C_t B_t$$

B_t – стабилизирующее преобразование

$D(\cdot)$ – дифференцирующий оператор: w_i – веса

Алгоритм Ограничения

- Вложенность. Новый кадр должен целиком содержаться в старом. Гарантируем корректность всех пикселей нового кадра
- Приближение. Новая траектория должна сохранять основное направление оригинальной

Frame rectangle $[0, w] \times [0, h]$



Алгоритм

Минимизация производных

1. Минимизируем первую производную:

$$|D(P)| = \sum_t |P_{t+1} - P_t| = \sum_t |C_{t+1}B_{t+1} - C_tB_t| = \\ = \sum_t |C_t F_{t+1} B_{t+1} - C_t B_t| \leq \sum_t |C_t| |F_{t+1} B_{t+1} - B_t|$$

Так как C_t известно, минимизируем

$$\sum_t |R_t|, R_t := F_{t+1} B_{t+1} - B_t$$

2. Вместо $|D^2(P)| = \sum_t |F_{t+1} R_{t+1} - R_t|$ авторы минимизируют $|R_{t+1} - R_t| = |F_{t+2} B_{t+2} - (I + F_{t+1}) B_{t+1} + B_t|$
3. Для третьей производной $|R_{t+2} - 2R_{t+1} + R_t|$

Алгоритм

Параметризация

■ Преобразование B_t может быть параметризовано вектором $p_t = (dx_t, dy_t, a_t, b_t, c_t, d_t)^T$

$$B_t = \begin{pmatrix} a_t & b_t \\ c_t & d_t \end{pmatrix} \begin{pmatrix} x_1 \\ x_2 \end{pmatrix} + \begin{pmatrix} dx_t \\ dy_t \end{pmatrix}$$

■ Вложенность $\begin{pmatrix} 0 \\ 0 \end{pmatrix} \leq \underbrace{\begin{pmatrix} 1 & 0 & c_i^x & c_i^y & 0 & 0 \\ 0 & 1 & 0 & c_i^x & c_i^y & 0 \end{pmatrix}}_{:=CR_i} p_t \leq \begin{pmatrix} w \\ h \end{pmatrix}$

■ Приближение $0.9 \leq a_t, d_t \leq 1.1;$
 $-0.1 \leq b_t, c_t \leq 0.1;$
 $-0.05 \leq c_t + b_t \leq 0.05;$
 $-0.1 \leq a_t - d_t \leq 0.1$

Алгоритм

Линейное программирование

Input: Frame pair transforms F_t , $t = 1..n$

Output: Optimal camera path $P_t = C_t B_t = C_t A(p_t)$

Minimize $c^T e$

w.r.t. $p = (p_1, \dots, p_n)$

where $e = (e^1, e^2, e^3)$, $e^i = (e_1^i, \dots, e_n^i)$

$c = (w_1, w_2, w_3)$

subject to

smoothness
$$\begin{cases} -e_t^1 \leq R_t(p) \leq e_t^1 \\ -e_t^2 \leq R_{t+1}(p) - R_t(p) \leq e_t^2 \\ -e_t^3 \leq R_{t+2}(p) - 2R_{t+1}(p) + R_t(p) \leq e_t^3 \\ e_t^i \geq 0 \end{cases}$$

proximity $lb \leq U p_t \leq ub$

inclusion $(0, 0)^T \leq CR_i p_t \leq (w, h)^T$

Сформулируем
усиленную задачу
линейного
программирования

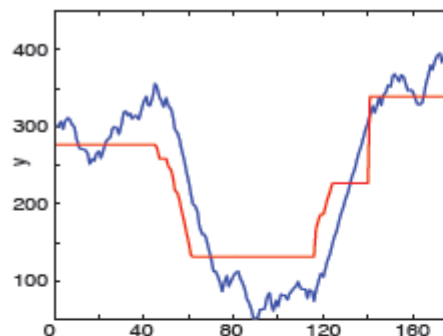
Задача решается
симплекс-методом

Алгоритм

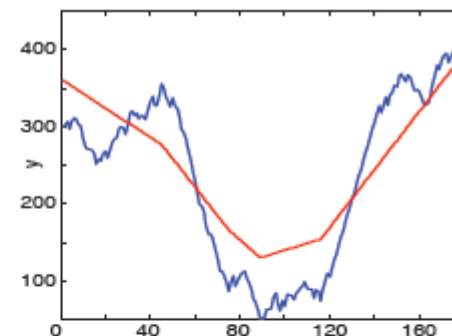
Весовые коэффициенты

Главное – избавиться от резких движений камеры

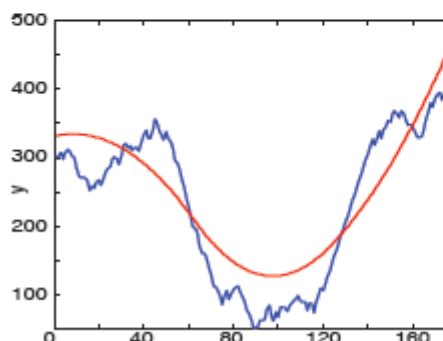
Для этого выбираем вес w_3 на порядок большим, чем w_1 и w_2



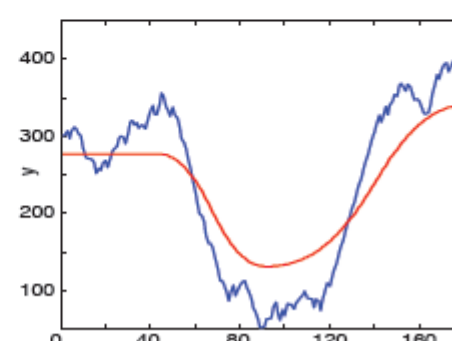
(a) $w_1 = 1, w_2 = w_3 = 0$



(b) $w_2 = 1, w_1 = w_3 = 0$

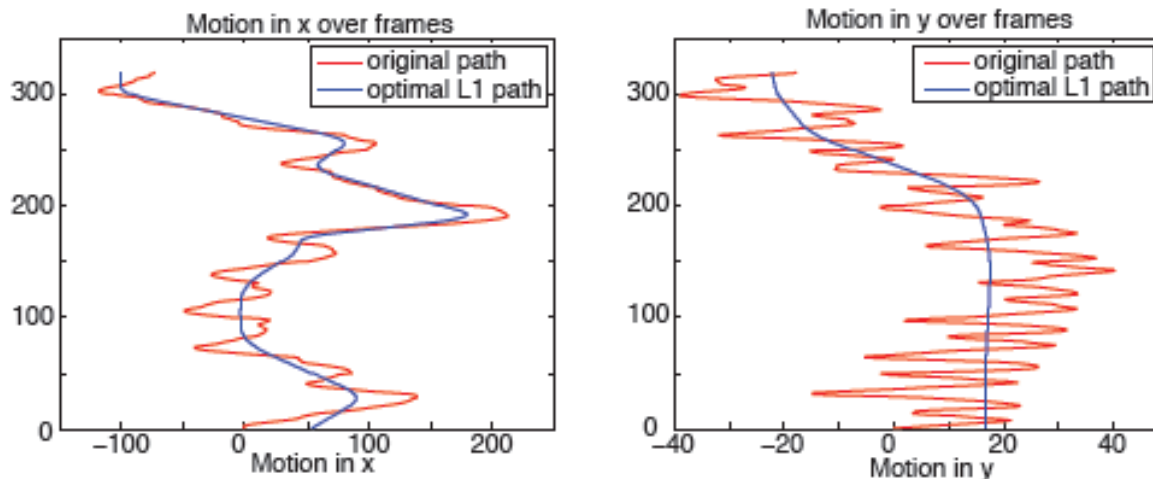


(c) $w_3 = 1, w_1 = w_2 = 0$



(d) $w_1 = 10, w_2 = 1, w_3 = 100$

Результаты



- Траектория соответствует кинематографическим принципам
- Гибкий алгоритм. Добавляя и убирая ограничения, можем управлять его поведением

Результаты Видео

Оригинал

Результат



Реализация

- <http://youtube.com/editor> – online реализация стабилизатора
- Работает в реальном времени
- Один параметр – размер нового кадра



Содержание

- Введение
- Сглаживание траектории
- Удаление motion blur
 - **Motion Deblurring**
 - Dual-Frame Deblurring
- Video completion
- Заключение

Удаление motion blur

- Проблема: при стабилизации меняется траектория движения камеры. Motion blur, связанный со старым движением, смотрится неестественно
- Идея: заменить размытые пиксели относительно более четкими из соседних кадров

Мера размытия

- Рассмотрим участок видео, в котором сцена значительно не меняется
- Для каждого кадра из этого участка посчитаем меру относительной размытости по общей области перекрытия:

$$b_t = \frac{1}{\sum_{\mathbf{p}_t} \{ ((f_x \star I_t)(\mathbf{p}_t))^2 + ((f_y \star I_t)(\mathbf{p}_t))^2 \}}$$

где f_x и f_y – фильтры-производные в направлениях x и y

- Если $b_t/b_{t'} > 1$, то кадр t' считается менее размытым, чем t

Весовой коэффициент

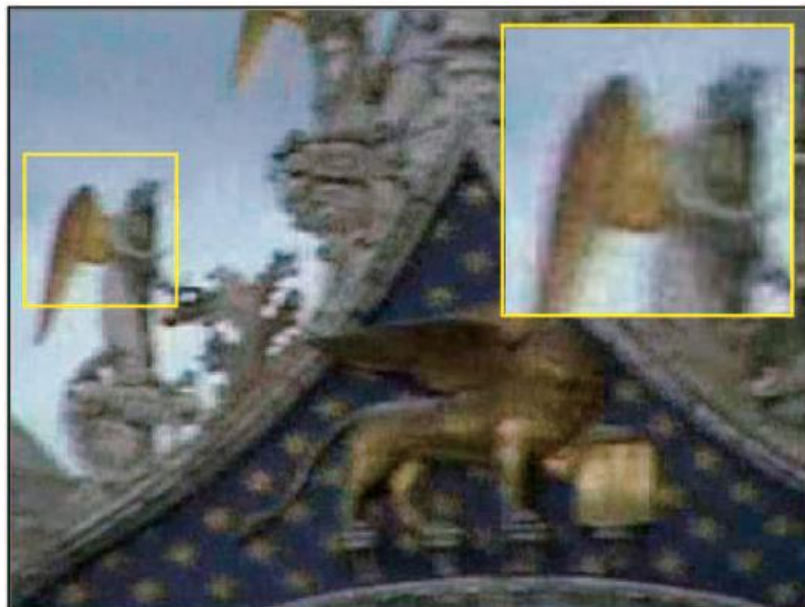
- Введем меру ошибки: $E_{t'}^t(\mathbf{p}_t) = |I_{t'}(\mathbf{T}_t^{t'} \mathbf{p}_t) - I_t(\mathbf{p}_t)|$
Высокие значения объясняются либо ошибкой в глобальном преобразовании $T_t^{t'}$, либо движением в кадре
- Введем весовой коэффициент:

$$w_{t'}^t(\mathbf{p}_t) = \begin{cases} 0 & \text{if } \frac{b_t}{b_{t'}} < 1 \\ \frac{b_t}{b_{t'}} \frac{\alpha}{E_{t'}^t(\mathbf{p}_t) + \alpha} & \text{otherwise.} \end{cases}$$

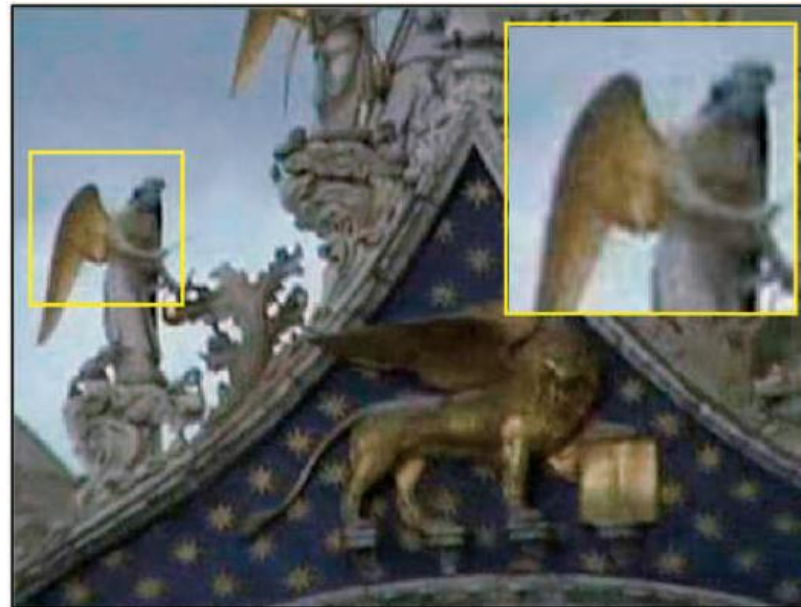
Параметр α определяет влияние ошибки на вес

Результат

$$\hat{I}_t(\mathbf{p}_t) = \frac{I_t(\mathbf{p}_t) + \sum_{t' \in \mathcal{N}} w_{t'}^t(\mathbf{p}_t) I_{t'}(\mathbf{T}_t^{t'} \mathbf{p}_t)}{1 + \sum_{t' \in \mathcal{N}} w_{t'}^t(\mathbf{p}_t)}$$



Оригинал



Результат



Содержание

- Введение
- Сглаживание траектории
- Удаление motion blur
 - Motion Deblurring
 - **Dual-Frame Deblurring**
- Video completion
- Заключение

Восстановление ядра

$$f = g * p + n$$

f – наблюдаемое изображение

g – чистое изображение

p – ядро размытия

n – шум

Задача – определить ядро p и применить один из алгоритмов обратной свертки к f

Алгоритм

Вход – два размытых изображения
с небольшой ошибкой выравнивания ϵ :

$$f_1 = g * p_1 + n_1$$
$$f_2 = (g + \epsilon) * p_2 + n_2$$

Выход – чистое изображение g

Ограничения на ядро

Природа motion blur: несколько точек реального изображения формируют пиксель
Ядро размытия отражает кривую – траекторию, проходимую камерой за время выдержки
Наложим ограничения, чтобы уменьшить неоднозначность решения:

- Ядро – разреженная матрица
- Кривая, отражаемая в ядре, должна быть неразрывной

Метод решения

Авторы используют систему curvelet'ов, которая дает максимально разреженное представление ядра

Оригинальная пара изображений

Результат



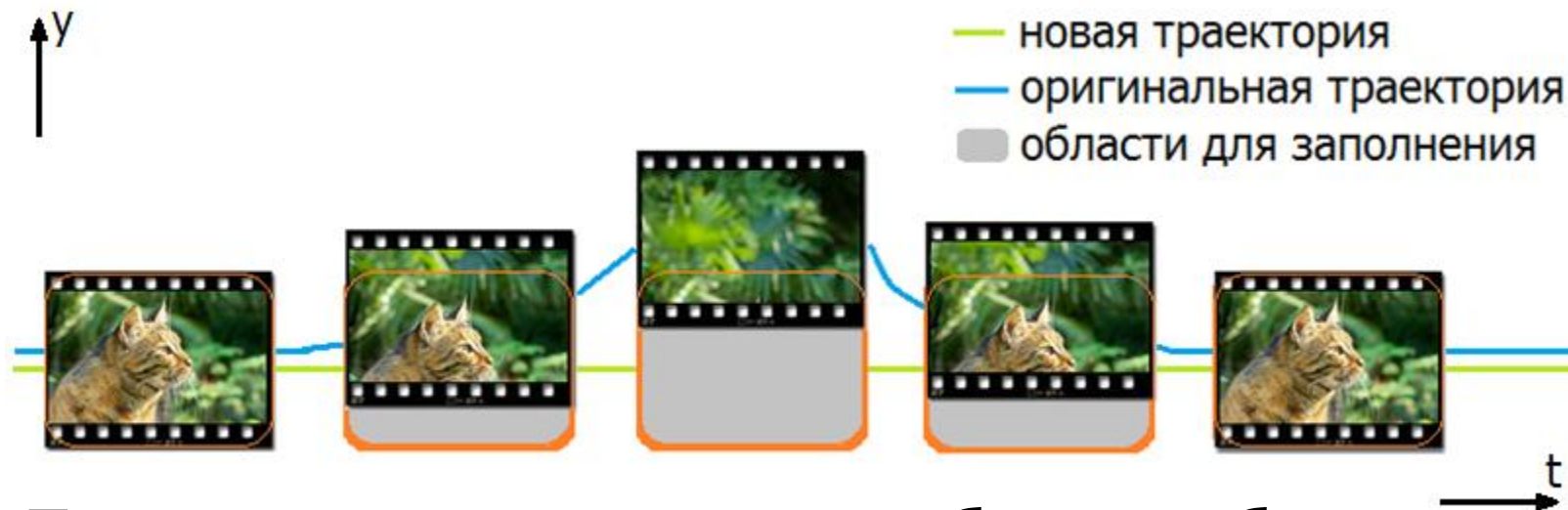
J.-F. Cai, H. Ji, C. Liu, Z. Shen, "High-quality curvelet-based motion deblurring from an image pair", IEEE Computer Society Conference on Computer Vision and Pattern Recognition, 2009



Содержание

- Введение
- Сглаживание траектории
- Удаление motion blur
- **Video completion**
- Заключение

Задача



При серьезном дрожании область общего перекрытия становится маленькой

Задача – качественно заполнить неизвестные области информацией из прошлых кадров



Содержание

- Введение
- Сглаживание траектории
- Удаление motion blur
- Video completion
 - **Motion inpainting**
 - Space-time completion
- Заключение

Motion inpainting

- M_t – область неизвестных пикселей в кадре t
- Задача – получить $M_t = \emptyset, \forall t$
- Идея – image inpainting распространяет цвет в неизвестные области, а motion inpainting – движение

Алгоритм

Начальное заполнение

1. Для каждого пикселя из M_t считаем дисперсию соответствующих ему пикселей из соседних кадров. Меньшая дисперсия – большая степень доверия
2. Если дисперсия меньше порога, то заполняем пиксель медианным значением соответствующих пикселей из соседних кадров, иначе оставляем
3. Если все пиксели из M_t заполнены, то переходим к следующему кадру

Алгоритм

Приоритеты кадров

Каждому кадру из окрестности присваивается приоритет, основанный на ошибке глобального преобразования:

$$e_{t'}^t = \sum_{\mathbf{p}_t} |I_t(\mathbf{p}_t) - I_{t'}(\mathbf{T}_t^{t'} \mathbf{p}_t)|$$

где суммирование ведется по общей области перекрытия I_t и $I_{t'}$

Дальнейшие шаги алгоритма проводим по $t' \in N_t$ в порядке приоритета (уменьшения $e_{t'}^t$)

Алгоритм

Заполнение движением

■ Предположение – движение в малой окрестности пикселя меняется слабо

$H(p_t)$ – множество соседних с p_t пикселей, в которых уже определено движение $F(q_t)$. $\forall q_t \in H(p_t)$ определим

$$F(p_t; q_t) \approx F(q_t) + \begin{bmatrix} \frac{\partial F_1(q_t)}{\partial x} & \frac{\partial F_1(q_t)}{\partial y} \\ \frac{\partial F_2(q_t)}{\partial x} & \frac{\partial F_2(q_t)}{\partial y} \end{bmatrix} \begin{bmatrix} u \\ v \end{bmatrix}$$

F_1 и F_2 – x и y компоненты вектора движения

$[u, v]^T$ – вектор смещения $p_t - q_t$

Движение оценивается по кадру t' из окрестности t

Алгоритм

Весовые коэффициенты

■ Движение в p_t :
$$F(p_t) = \frac{\sum_{q_t \in H(p_t)} w(p_t, q_t) * F(p_t, q_t)}{\sum_{q_t \in H(p_t)} w(p_t, q_t)}$$

Веса: $w(p_t, q_t) = g(p_t, q_t) c(p_t, q_t)$

Геометрическая значимость:
$$g(p_t, q_t) = \frac{1}{\|p_t - q_t\|}$$

Соответствие цветов:
$$c(p_t, q_t) = \frac{1}{\|I_{t'}(q_{t'} + p_t - q_t) - I_{t'}(q_{t'})\| + \epsilon}$$

У p_t нет цвета, поэтому смотрим в кадр $I_{t'}$

Если $(q_{t'} + p_t - q_t)$ или $(q_{t'})$ попадают в неизвестную область, то оставляем p_t незаполненным

Алгоритм

Заполнение цветом

■ Для тех p_t , для которых известны $F(p_t)$:

$$I_t(p_t) = I_{t'}(T_t^{t'} F(p_t))$$

Если остались неизвестные пиксели, то переходим к кадру t' с меньшим приоритетом (большим $e_t^{t'}$) и повторяем motion inpainting

После прохода по всей окрестности могут остаться крайне малые незаполненные области, для которых применяем простую интерполяцию

Результаты (1)

Вход



Выход



Оригинал

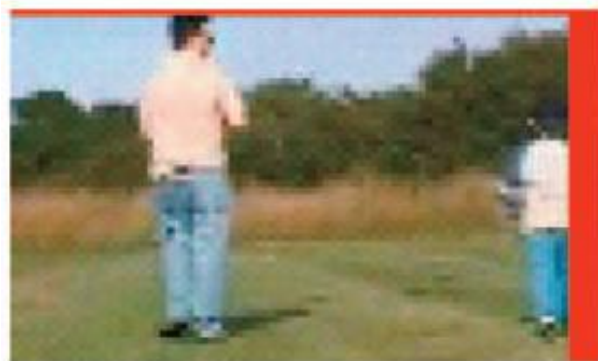


Результаты (2)

Вход

Выход

Оригинал





Выводы

Достоинство:

- Универсальный. Применим для удаления объектов, логотипов, надписей

Недостаток:

- Сильно зависит от ошибки определения движения

Результаты

Видео (1)

Оригинал

Результат

Заполнение



Результаты Видео (2)

Оригинал

Результат

Заполнение



Скорость работы

	Computational Cost (%)	Number of times
Global motion estimation	5.26%	N
Motion smoothing	0.05%	N (using $2k$ motions)
Local motion estimation	84.25 %	$2kN$
Motion inpainting	7.20%	$2kN$
Image warping	1.47 %	$(2k+1)N$ for global warping, $2kN$ for local warping
Image deblurring	1.77%	N (using $2k + 1$ images)

Общая скорость – 2.2 fps @ Pentium4 @ 2.2 ГГц

Разрешение видео – 720x486, $k = 6$



Содержание

- Введение
- Сглаживание траектории
- Удаление motion blur
- Video completion
 - Motion inpainting
 - **Space-time completion**
- Заключение

Space-time completion

Видео A и B визуально согласованы, если любой пространственно-временной блок из A может быть найден где-то в B

S – входная последовательность

$H \in S$ – пространственно-временная дыра

Задача – заполнить H новыми данными H^* так, чтобы получившаяся последовательность S^* была как можно более визуально согласована с $T = S \setminus H$

Мера согласованности

$$\text{Coherence}(\mathcal{S}^* | \mathcal{T}) = \sum_{p \in \mathcal{S}^*} \max_{q \in \mathcal{T}} s(W_p, W_q)$$

p, q – пространственно-временные точки (x, y, t)

W_p, W_q – блоки, содержащие p и q . Авторы рассматривают $5 \times 5 \times 5$ окрестности

$s(W_p, W_q)$ – мера похожести двух блоков

Заполнение H с максимизацией согласованности ведет к визуально приемлемым решениям

Мера похожести

Каждой пространственно-временной точке $p(x, y, t)$ соответствует вектор (R, G, B, u, v)

$$u = \frac{Y_t}{Y_x}, \quad v = \frac{Y_t}{Y_y}$$

(Y_x, Y_y, Y_t) – производные по x, y, t

$$d(W_p, W_q) = \sum_{(x,y,t)} \|W_p(x, y, t) - W_q(x, y, t)\|^2$$

$W_p(x, y, t)$ – пятимерные вектора (R, G, B, u, v)

$$s(W_p, W_q) = e^{\frac{-d(W_p, W_q)}{\alpha}} \text{ – мера похожести } (\alpha \text{ – параметр})$$

Заполнение

Условия визуальной согласованности:

- $\forall p = p(x, y, t)$ все W_{p^i} , содержащие p должны согласовываться по цвету p
- Все W_{p^i} должны содержаться в $S \setminus H$

Пусть $p \in H$, W_{p^i} – все блоки, содержащие p , а W_{q^i} – блоки из $S \setminus H$, наиболее похожие на W_{p^i} по мере s

Наиболее вероятный цвет c точки p минимизирует дисперсию цветов, предложенных блоками W_{q^i}

Степень доверия блоку W_{q^i} : $s_i = s(W_{q^i}, W_{p^i})$

Итог: ищем c , минимизируя $\sum_i s_i (c - c_i)^2$

Оптимизация алгоритма

Сложность поиска наиболее похожего пространственно-временного блока $O(D^3 \cdot N)$

$D = 5$ – размеры блока

$N = (\text{ширина}) * (\text{высота}) * (\text{количество кадров})$

1. Для всех p считаем (u, v)
2. Выбираем k лучших совпадений по двум компонентам
3. Сравниваем k блоков, кардинально уменьшая СЛОЖНОСТЬ

Результаты (1)

Оригинал

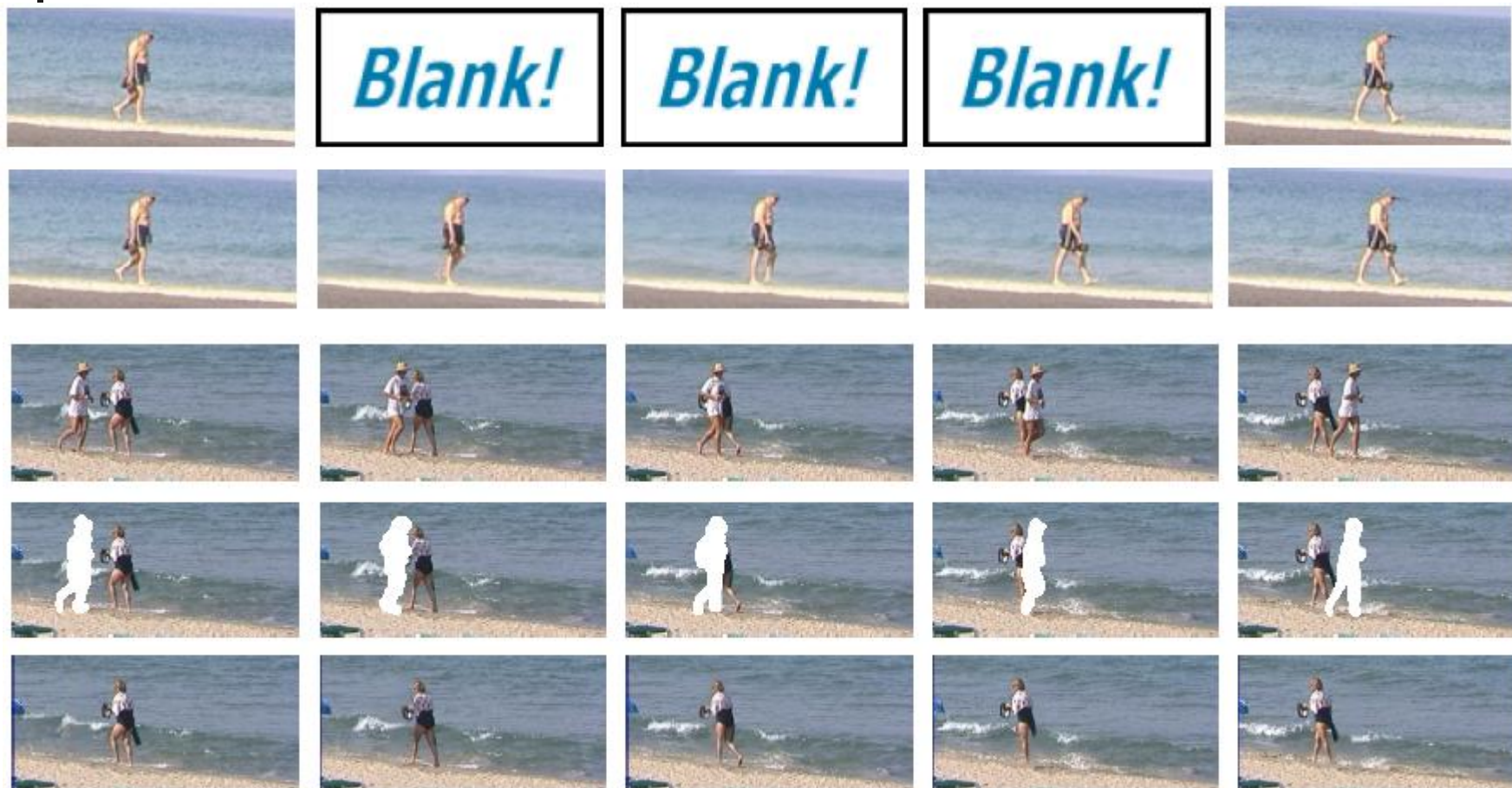


Результат



Y. Wexler, E. Shechtman, M. Irani, "Space-time video completion",
IEEE Computer Society Conference on Computer Vision and
Pattern Recognition, 2004

Результаты (2)



Y. Wexler, E. Shechtman, M. Irani, "Space-time video completion",
IEEE Computer Society Conference on Computer Vision and
Pattern Recognition, 2004

Результаты Видео

Оригинал



Результат





Выводы

Достоинства:

- Универсальность. Можно удалять целые кадры из последовательности
- Качественное восстановление даже при быстром движении

Недостатки:

- Низкая скорость на больших зонах заполнения



Содержание

- Введение
- Сглаживание траектории
- Удаление motion blur
- Video completion
- **Заключение**



Заключение

В ходе рассмотрения этапов программной стабилизации приводились алгоритмы:

- Сглаживание траектории, удаление motion blur, motion inpainting, составляющие полноценный стабилизатор
- Optimal Camera Path – элемент стабилизатора из видеоредактора YouTube
- Space-time completion, потенциально – замена motion inpainting
- Dual-frame Deblurring, как альтернативный вариант удаления motion blur

Литература

1. Y. Matsushita, E. Ofek, X. Tang, H.-Y. Shum, "Full-frame Video Stabilization", IEEE Computer Society Conference on Computer Vision and Pattern Recognition, 2005.
2. M. Grundmann, V. Kwatra, I. Essa, "Auto-Directed Video Stabilization", IEEE Computer Society Conference on Computer Vision and Pattern Recognition, 2011.
3. J.-F. Cai, H. Ji, C. Liu, Z. Shen, "High-quality curvelet-based motion deblurring from an image pair", IEEE Computer Society Conference on Computer Vision and Pattern Recognition, 2009.
4. Y. Wexler, E. Shechtman, M. Irani, "Space-time video completion", IEEE Computer Society Conference on Computer Vision and Pattern Recognition, 2004.

Лаборатория компьютерной графики и мультимедиа



Видеогруппа — это:

- Выпускники в аспирантурах Англии, Франции, Швейцарии (в России в МГУ и ИПМ им. Келдыша)
- Выпускниками защищено 5 диссертаций
- Наиболее популярные в мире сравнения видеокодеков
- Более 3 миллионов скачанных фильтров обработки видео